

التوصية ITU-R P.1411-3

معطيات الانتشار وطرائق التنبؤ لتخطيط أنظمة الاتصالات الراديوية
قصيرة المدى المعدة للعمل خارج المباني والشبكات المحلية الراديوية
في مدى الترددات المتراوحة بين 300 MHz و 100 GHz
(المسألة ITU-R 211/3)

(1999-2001-2003-2005)

إن جمعية الاتصالات الراديوية التابعة للاتحاد الدولي للاتصالات،

إذ تضع في اعتبارها

- أ) أن عدداً كبيراً من التطبيقات الجديدة للاتصالات المتنقلة والاتصالات الشخصية قصيرة المدى (أقل من 1 km) يجري تطويرها حالياً؛
- ب) أن هناك طلباً كبيراً على الشبكات المحلية الراديوية (RLAN) وأنظمة العروة المحلية اللاسلكية؛
- ج) أن الأنظمة قصيرة المدى التي تستعمل قدرة منخفضة جداً لها مزايا عديدة لتقديم خدمات في البيئة المتنقلة وفي العروة المحلية اللاسلكية؛
- د) أن من الضروري جداً لتصميم هذه الأنظمة معرفة خصائص الانتشار والتداخلات الناتجة عن وجود عدة مستعملين في المنطقة نفسها؛
- هـ) أن من الضروري على السواء توفر نماذج عامة (أي مستقلة عن الموقع) ومشورة بشأن التخطيط الأولي للأنظمة وتقييم التداخلات وتوفر نماذج محددة (أي خاصة بمواقع معينة) لبعض التقييمات المفصلة،

وإذ تلاحظ

- أ) أن التوصية ITU-R P.1238 تضع الخطوط التوجيهية المتعلقة بالانتشار داخل المباني على مدى الترددات المتراوحة بين 900 MHz و 100 GHz وبالتالي يجب الرجوع إليها في الحالات التي تنطبق فيها ظروف الانتشار داخل المباني وخارجها على السواء؛
- ب) أن التوصية ITU-R P.1546 تضع الخطوط التوجيهية المتعلقة بالانتشار للأنظمة العاملة على مسافات تبلغ وتتجاوز 1 km وعلى مدى الترددات المتراوحة بين 30 MHz و 3 GHz،

توصي

- 1) باعتماد المعطيات والطرائق المحددة في الملحق 1 لتقييم خصائص الانتشار المتعلقة بأنظمة الاتصالات الراديوية قصيرة المدى المعدة للعمل خارج المباني بين 300 MHz و 100 GHz، حيثما أمكن.

الملحق 1

1 مقدمة

يتأثر الانتشار عبر مسافات تقل عن 1 km أساساً بالمباني والأشجار أكثر منه بالتضاريس. ويكون تأثير المباني غالباً، حيث إن معظم الوصلات الراديوية قصيرة المدى توجد في المناطق الحضرية وشبه الحضرية. أما المطاريف المتنقلة فالأرجح أن يحملها المشاة أو أن تكون على متن مركبة.

تعرف هذه التوصية فئات مسيرات الانتشار على مسافات قصيرة وتقدم طرائق لتقدير خسارة المسير وامتداد وقت الانتشار على هذه المسيرات.

2 بيئات التشغيل المادية وتعريف أنماط الخاليا

تصنف البيئات الموصوفة في هذه التوصية من حيث انتشار الموجات الراديوية فقط. وتتأثر الموجات الراديوية بالبيئة، أي بمياكل المباني وارتفاعها وباستعمال المطاريف المتنقلة (مشاة أو مركبات) وبموقع الهوائيات. وقد تم تحديد أربع بيئات مختلفة باعتبارها أكثر البيئات نمطية. إذ لم تؤخذ بعين الاعتبار مثلاً المناطق كثيرة التلال لأنها لا تمثل المناطق الحضرية. ويعرض الجدول 1 البيئات الأربع. ونظراً إلى تعدد أنواع البيئات في كل فئة فليس الغرض نمذجة كل حالة ممكنة، وإنما وضع نماذج الانتشار التي تمثل البيئات الأكثر شيوعاً.

الجدول 1

بيئات التشغيل المادية - حالات الانحطاط المرتبطة بظواهر الانتشار

البيئة	الوصف وحالات الانحطاط المرتبطة بظواهر الانتشار ذات الأهمية
المناطق الحضرية المرتفعة	<ul style="list-style-type: none"> - "الأحادي الحضرية" أي الشوارع المنحصرة بين مبان من عدة طوابق - قلة احتمال الانتشار فوق سطوح المباني بسبب ارتفاعها - احتمال استطالة وقت الانتشار بسبب صفوف المباني العالية - العربات العديدة المتنقلة في المنطقة تكون بمثابة عوائق تعكس الموجات مضيئة بذلك إزاحة دوبلرية إلى الموجات المنعكسة
المناطق الحضرية/شبه الحضرية منخفضة الارتفاع	<ul style="list-style-type: none"> - شوارع واسعة - احتمال الانعراج فوق سطوح المباني التي لا تتجاوز ثلاثة طوابق بصورة عامة - احتمال أن تؤدي العربات المتنقلة إلى ظواهر الانعكاس والحجب في بعض الأحيان - التأثيرات الأساسية هي امتداد وقت الانتشار وقلة الإزاحة الدوبلرية
المناطق السكنية	<ul style="list-style-type: none"> - منازل بطابق واحد أو اثنين - شوارع ذات اتجاهين عموماً مع وقوف سيارات على الجانبين - احتمال وجود أشجار كثيفة الأوراق إلى حد ما - حركة سير خفيفة عادة
المناطق الريفية	<ul style="list-style-type: none"> - منازل صغيرة تحيط بها حدائق كبيرة - تأثير التضاريس (طوبوغرافيا) - احتمال وجود أشجار كثيفة الأوراق إلى حد ما - حركة سير شديدة أحياناً

ويراعى سيناريوهان محتملان لكل بيئة من هذه البيئات الأربع. وبالتالي يُقسّم المستعملون إلى مشاة وعربات. وتختلف سرعة الهاتف المتنقل اختلافاً كبيراً بالنسبة إلى هذين التطبيقين مما يؤدي إلى إزاحات دوبلرية مختلفة. ويعرض الجدول 2 السرعات النموذجية لهذين السيناريوهين.

الجدول 2

بيئات التشغيل المادية - السرعة النموذجية للهاتف المتنقل

البيئة	سرعة تنقل المشاة (m/s)	سرعة تنقل العربات
المناطق الحضرية المرتفعة	1,5	سرعة نموذجية في وسط المدينة حوالي 50 km في الساعة (14 m/s)
المناطق الحضرية/شبه الحضرية منخفضة الارتفاع	1,5	حوالي 50 km في الساعة (14 m/s) طرق سريعة حتى 100 km في الساعة (28 m/s)
المناطق السكنية	1,5	حوالي 40 km في الساعة (11 m/s)
المناطق الريفية	1,5	100-80 km في الساعة (22-28 m/s)

يعتمد نمط آلية الانتشار المهيمن أساساً على ارتفاع هوائي المحطة القاعدة بالنسبة إلى المباني المحيطة. ويعرض الجدول 3 أنماط الخلايا النموذجية ذات الصلة بالانتشار خارج المباني عبر مسافة قصيرة.

الجدول 3

تعريف أنماط الخلايا

نمط الخلية	نصف قطر الخلية	الموقع النموذجي لهوائي المحطة القاعدة
موسعة	0,5 إلى 3 km	في الخارج، فوق متوسط مستوى السطوح، وقد تكون بعض المباني المحيطة أعلى من ارتفاع هوائي المحطة القاعدة
صغيرة	100 إلى 500 m	في الخارج، دون متوسط مستوى سطوح المباني
دقيقة	حتى 100 m	في الداخل أو في الخارج (دون مستوى سطوح المباني)

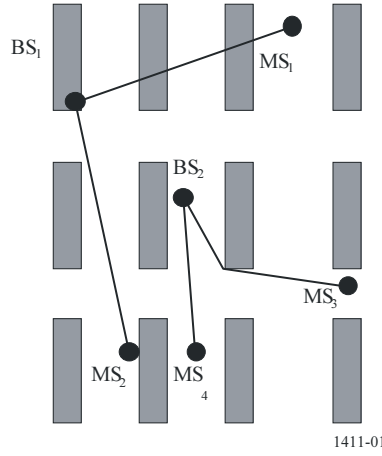
(جدير بالملاحظة أن هذه التوصية تنطبق على مسافات أقصاها 1 km على الرغم من أن فئة "الخلايا الموسعة" لها قيمة حدية قصوى تبلغ 3 km).

3 فئات المسيرات

1.3 تعريف حالات الانتشار

يوضح الشكل 1 أربع حالات للانتشار بين المحطات القاعدة (BS) والمحطات المتنقلة (MS). وتركب المحطة القاعدة BS₁ فوق مستوى السطح. وتكون الخلية المقابلة عبارة عن خلية "موسعة". ويتم الانتشار من هذه المحطة القاعدة من فوق السطح أساساً. وتركب المحطة القاعدة BS₂ دون مستوى السطح وتحدد بيئة الخلايا الصغيرة أو الخلايا "الدقيقة". ويتم الانتشار في أنماط الخلايا هذه داخل "الأخاديد الحضرية". وبالنسبة إلى الوصلات بين الهوائيات المتنقلة، يمكن افتراض وقوع طرفي الوصلة دون مستوى السطح بحيث يمكن استعمال النماذج المتصلة بالمحطة القاعدة BS₂.

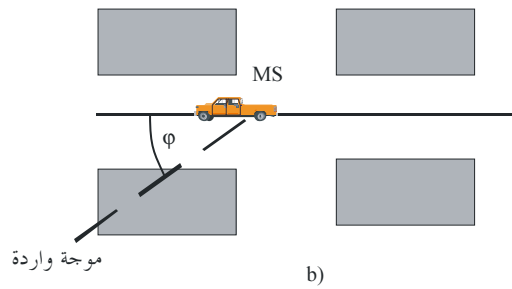
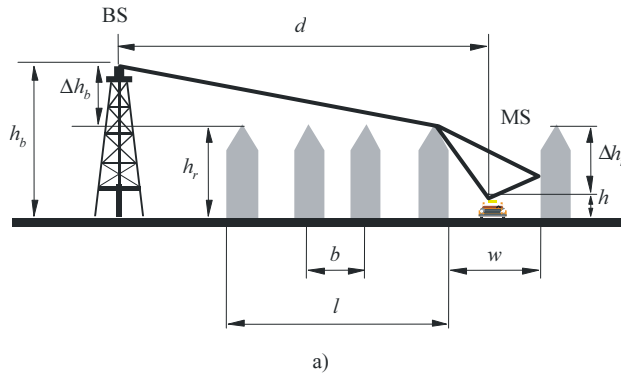
الشكل 1
حالات الانتشار النموذجية في المناطق الحضرية



1.1.3 الانتشار فوق السطوح خلاف خط البصر (NLoS)

يوضح الشكل 2 الحالة النموذجية للانتشار خلاف خط البصر (وصلة بين BS_1 و MS_1 في الشكل 1) وتسمى فيما يلي الحالة .NLoS1

الشكل 2
تعريف معالم الحالة NLoS1



1411-02

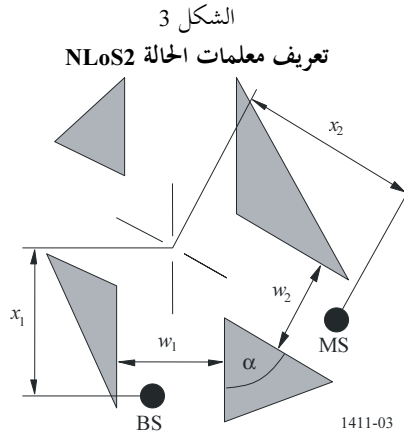
المعلومات المتصلة بهذه الحالة هي كالتالي:

h_r :	متوسط ارتفاع المباني (m)
w :	عرض الشارع (m)
b :	متوسط المسافة بين المباني (m)
φ :	اتجاه الشارع بالنسبة إلى المسير المباشر (بالدرجات)
h_b :	ارتفاع هوائي المحطة القاعدة (m)
h_m :	ارتفاع هوائي المحطة المتنقلة (m)
l :	طول المسير الذي تغطيه المباني (m)
d :	المسافة بين المحطة القاعدة والمحطة المتنقلة.

تصادف الحالة NLoS1 غالباً في البيئات السكنية/الريفية فيما يتعلق بجميع أنماط الخلايا وتكون هذه الحالة مهيمنة في البيئات الحضرية/شبه الحضرية منخفضة المباني فيما يتعلق بالخلايا الموسعة. ويمكن حساب المعلمات h_r و b و l من المعطيات المتصلة بالمباني الموجودة على امتداد الخط الواصل بين الهوائيات، ولكن تحديد المعلمتين w و φ يتطلب إجراء تحليل ثنائي الأبعاد للمنطقة المحيطة بالهاتف المتنقل. وجدير بالملاحظة أن l غير متعامدة بالضرورة مع اتجاه المبنى.

2.1.3 الانتشار على امتداد الأخاديد الحضرية، NLoS

يصف الشكل 3 الوضع المقابل لحالة نموذجية لاستعمال الخلايا الصغيرة NLoS (وصلة بين BS_2 و MS_3 في الشكل 1). وتسمى هذه الحالة فيما يلي NLoS2.



المعلومات المتصلة بهذه الحالة هي كالتالي:

w_1 :	عرض الشارع عند موقع المحطة القاعدة (m)
w_2 :	عرض الشارع عند موقع المحطة المتنقلة (m)
x_1 :	المسافة بين المحطة القاعدة وتقاطع الطرق (m)
x_2 :	المسافة بين المحطة المتنقلة وتقاطع الطرق (m)
α :	زاوية تقاطع الطرق (rad).

يُصادف نمط المسير NLoS2 غالباً في البيئات الحضرية عالية المباني فيما يتعلق بجميع أنماط الخلايا وكثيراً ما تصادف هذه الحالة أيضاً في البيئات الحضرية منخفضة المباني وذلك فيما يتعلق بالخلايا الصغيرة والخلايا الدقيقة. ويجب إجراء تحليل ثنائي الأبعاد للمنطقة المحيطة بالهاتف المتنقل لتحديد جميع المعلمات المقابلة للحالة NLoS2.

3.1.3 مسيرات خط البصر (LoS)

يشكل المسيران BS_1-MS_2 و BS_2-MS_4 الواردان في الشكل 1 مثالين عن حالات خط البصر. ويمكن تطبيق نفس النماذج على كل من المسيرين في خط البصر.

2.3 المعطيات اللازمة

بالنسبة إلى الحسابات الخاصة بموقع ما في بيئة حضرية، يمكن استعمال أنماط مختلفة من المعطيات. ويمكن الحصول من المعطيات عالية الاستبانة على أدق المعلومات بشأن:

- هياكل المباني؛
- وارتفاع المباني النسبي والمطلق؛
- والغطاء النباتي.

ويمكن أن تكون أنساق المعطيات من نمط المصفوفات أو المتجهات. وينبغي أن تكون دقة المعطيات المتجهية فيما يتعلق بموقع المحطات في حدود 1 إلى 2 m. وتكون الاستبانة الموصى بها للمعطيات من نمط المصفوفة 1 إلى 10 m. وينبغي أن تكون دقة الارتفاع لكلا نسقي المعطيات في حدود 1 إلى 2 m.

وفي غياب المعطيات عالية الاستبانة، يوصى باستعمال معطيات استخدام الأراضي الأقل استبانة (50 m) واعتماداً على تعريف فئات استخدام الأراضي (الحضرية الكثيفة، والحضرية، وشبه الحضرية، إلخ). يمكن عزو المعلومات اللازمة إلى هذه الفئات المختلفة. كما يمكن استعمال هذه المعطيات بالاقتران مع معلومات متجهية عن الشوارع لحساب زوايا اتجاه الشوارع.

4 نماذج خسارة المسير

يمكن تطبيق خوارزميات مغلقة فيما يتعلق بالسيناريوهات النموذجية في المناطق الحضرية. ويمكن استعمال نماذج الانتشار هذه لإجراء الحسابات المتصلة بموقع محدد أو بأي موقع عموماً. وتعرف الفقرة 1.3 حالات الانتشار المقابلة. ويعتمد نمط النموذج أيضاً على مدى التردد. ويجب تطبيق نماذج مختلفة بالنسبة إلى الانتشار بالموجات الديسيتمترية (UHF) أو الانتشار بالموجات المليمترية (EHF). وفي حالة الانتشار بالموجات المليمترية تؤخذ في الاعتبار حالات الانتشار LoS و NLoS. وفي حالة الانتشار بالموجات المليمترية، لا يُنظر إلا في حالة الانتشار LoS. وفضلاً عن ذلك يجب أن تؤخذ بعين الاعتبار ظواهر التوهين الإضافي بسبب الأكسجين والماء الجوي.

1.4 حالات الانتشار عبر خط البصر في "الأحادي" الحضرية

الانتشار بالموجات الديسيتمترية

يمكن أن تتميز الخسارة الأساسية للإرسال في مدى التردد بالموجات الديسيتمترية المعرفة في التوصية ITU-R P.341 بميلين ونقطة قطع واحدة. ويعطى حد منخفض تقريبي بالصيغة التالية:

$$(1) \quad L_{LoS,l} = L_{bp} + \begin{cases} 20 \log_{10} \left(\frac{d}{R_{bp}} \right) & \text{for } d \leq R_{bp} \\ 40 \log_{10} \left(\frac{d}{R_{bp}} \right) & \text{for } d > R_{bp} \end{cases}$$

حيث R_{bp} هي المسافة التي تقع عندها نقطة القطع وتعطى بالصيغة التالية:

$$(2) \quad R_{bp} \approx \frac{4 h_b h_m}{\lambda}$$

حيث λ هو طول الموجة (m)

ويعطى حد أعلى تقريبي بالصيغة التالية:

$$(3) \quad L_{LoS,u} = L_{bp} + 20 + \begin{cases} 25 \log_{10} \left(\frac{d}{R_{bp}} \right) & \text{for } d \leq R_{bp} \\ 40 \log_{10} \left(\frac{d}{R_{bp}} \right) & \text{for } d > R_{bp} \end{cases}$$

حيث L_{bp} هي قيمة الخسارة الأساسية للإرسال عند نقطة قطع الميل وتساوي:

$$(4) \quad L_{bp} = \left| 20 \log_{10} \left(\frac{\lambda^2}{8\pi h_b h_m} \right) \right|$$

الانتشار بالموجات السنتيمترية (SHF) حتى 15 GHz

بالنسبة إلى أطوال المسير حتى حوالي 1 km في حالة الموجات السنتيمترية يكون حركة السير تأثير على الارتفاع الفعال للطريق وبالتالي يساهم في تحديد مسافة نقطة قطع الميل. وتقدر هذه المسافة R_{bp} بالمعادلة التالية:

$$(5) \quad R_{bp} = 4 \frac{(h_b - h_s)(h_m - h_s)}{\lambda}$$

حيث h_s هو الارتفاع الفعال للطريق نتيجة الأشياء الموجودة كالسيارات على الطريق والأشخاص الموجودين على مقربة من الطريق. ولذا تعتمد h_s على حركة السير. وتستخلص قيم h_s المبينة في الجدولين 4 و 5 من القياسات النهارية والليلية المقابلة لظروف حركة السير الكثيفة والخفيفة على التوالي. وتقابل حركة السير الكثيفة نسبة تغطية للطريق بالسيارات تتراوح بين 10% و 20% ونسبة وجود المشاة على الأرصفة تتراوح بين 0,2% و 1%. وتقابل حركة السير الخفيفة نسبة تغطية للطريق بالسيارات تتراوح بين 0,1% و 0,5% ونسبة وجود المشاة على الأرصفة أقل من 0,001%، علماً بأن عرض الطريق يبلغ 27 متراً بما في ذلك 6 أمتار لكل من رصيفي الطريق.

الجدول 4

الارتفاع الفعال للطريق، h_s (حركة سير كثيفة)

h_s (m)		h_b (m)	التردد (GHz)
$h_m = 1,6$	$h_m = 2,7$		
(2)	1,3	4	3,35
(2)	1,6	8	
(2)	1,6	4	8,45
(2)	1,6	8	
(2)	1,4	4	15,75
(2)	(1)	8	

(1) نقطة قطع الميل أبعد من 1 km.

(2) لا توجد أي نقطة قطع.

الجدول 5

الارتفاع الفعال للطريق، h_s (حركة سير خفيفة)

h_s (m)		h_b (m)	التردد (GHz)
$h_m = 1,6$	$h_m = 2,7$		
0,23	0,59	4	3,35
(1)	(1)	8	
0,43	(2)	4	8,45
(1)	(2)	8	
0,74	(2)	4	15,75
(1)	(2)	8	

(1) لم يجر أي قياس

(2) نقطة قطع الميل أبعد من 1 km.

عندما يكون $h_s < h_m$ ، يمكن حساب القيم التقريبية للحدود العليا والدنيا للخسارة الأساسية للإرسال في نطاق الترددات على الموجات السنتيمترية باستعمال المعادلتين (1) و(3) حيث تعطى القيمة L_{bp} بالصيغة التالية:

$$(6) \quad L_{bp} = \left| 20 \log_{10} \left\{ \frac{\lambda^2}{8\pi(h_b - h_s)(h_m - h_s)} \right\} \right|$$

ومن جهة أخرى، عندما تكون $h_s \geq h_m$ ، لا توجد أية نقطة قطع. وتتميز المنطقة القريبة من المحطة القاعدة ($R_s > d$) بخسارة انتشار أساسية مشابهة لخسارة مدى الموجات الديسيمترية، بينما تتميز المنطقة البعيدة عن المحطة القاعدة بخصائص انتشار تكون فيها قيمة معامل التوهين مكعبة. وهكذا تعطى القيمة التقريبية الدنيا من أجل $R_s \leq d$ بالصيغة التالية:

$$(7) \quad L_{LoS,l} = L_s + 30 \log_{10} \left(\frac{d}{R_s} \right)$$

تعطى القيمة التقريبية العليا من أجل $R_s \leq d$ بالصيغة التالية:

$$(8) \quad L_{LoS,u} = L_s + 20 + 30 \log_{10} \left(\frac{d}{R_s} \right)$$

تعرف خسارة الانتشار الأساسية L_s كالتالي:

$$(9) \quad L_s = \left| 20 \log_{10} \left(\frac{\lambda}{2\pi R_s} \right) \right|$$

وقد تم تحديد قيمة 20 m للقيمة R_s تجريبياً في المعادلات (7) و(8) و(9).

انتشار الموجات المليمترية

عند الترددات التي تفوق 10 GHz تكون المسافة التي تقع عندها نقطة قطع الميل R_{bp} في المعادلة (2) أبعد بكثير من نصف القطر الأقصى المتوقع للخلية (500 m). وهذا يعني عدم انطباق أي قانون أسي بالقوة أربعة في نطاق التردد هذا. وبالتالي يكاد يتبع معدل تناقص القدرة بدلالة المسافة قانون الانتشار في الفضاء الحر مع أس توهين على المسير قدره حوالي 2,2. ويجب أيضاً مراعاة التوهين الناتج عن الغازات الجوية والمطر.

ويمكن حساب التوهين الناتج عن الغازات الجوية والمطر بالاستناد على التوالي إلى التوصيتين ITU-R P.676 و ITU-R P.530.

2.4 نماذج لحالات الانتشار خلاف خط البصر NLoS

في حالة الانتشار NLoS يمكن أن تصل الإشارات إلى المحطة القاعدة أو المحطة المتنقلة بفضل آليات الانتشار بسبب الانعراج أو تعدد المسيرات التي قد تجمع بين الانعراج والانعكاس. وتتناول هذه الفقرة نماذج تتعلق بآليات الانعراج.

انتشار الموجات الديسيمترية والسنتيمترية

تصلح النماذج المعروفة للحالتين الموصوفتين في الفقرة 1.3 للمعلومات التالية:

h_b	: 4 إلى 50 m
h_m	: 1 إلى 3 m
f	: 800 إلى 2 000 MHz من أجل $h_r \geq h_b$
	: 800 إلى 5 000 MHz من أجل $h_r < h_b$
d	: 20 إلى 5 000 m.

(جدير بالملاحظة أن هذه التوصية تنطبق على مسافات لا تتجاوز 1 km على الرغم من أن النموذج يصلح لمسافات تصل إلى 5 km).

انتشار الموجات المليمترية

في نطاق الترددات بالموجات المليمترية لا تؤخذ تغطية الإشارة في الاعتبار إلا في الحالات NLoS وذلك بسبب شدة التوهين بالانعراج الذي تؤدي إليه العوائق على مسير الانتشار الذي يصبح مسيراً خلاف خط البصر. وفي هذه الحالة تنتشر الإشارة وفق أسلوب انتشار يجمع على الأرجح بين الانعكاس والانتشار عبر مسيرات متعددة.

1.2.4 انتشار فوق سطوح المباني

يكون نموذج الانتشار بالانعراج الناتج عن الحجب المتعدد الوارد فيما يلي صالحاً إذا كانت سطوح المباني متساوية الارتفاع تقريباً. وبافتراض أن ارتفاع سطوح المباني لا يختلف إلا بقيمة أدنى من نصف قطر منطقة فرينل على مسير طوله l (انظر الشكل 2) فإن ارتفاع السطوح الذي ينبغي استعماله في النموذج هو متوسط ارتفاع السطوح. وإذا كان الاختلاف أكبر من نصف القطر هذا، يفضل استعمال أعلى المباني على امتداد المسير لحساب الانتشار بالانعراج على حد السكين (انظر التوصية ITU-R P.526) بدلاً من نموذج الحجب المتعدد.

وعندما تكون سطوح المباني متماثلة الارتفاع في النموذج المقترح لحساب خسارة الإرسال في حالة NLoS1 (انظر الشكل 2) تساوي الخسارة بين الهوائيات المتناحية مجموع خسارة الإرسال في الفضاء الحر L_{bf} والتوهين بالانعراج بين السطوح والشارع L_{rts} والانخفاض الناتج عن الانعراج بسبب تأثير الحجب المتعدد عبر مختلف صفوف المباني L_{msd} .

إن التعبيرين L_{bf} و L_{rts} غير مرتبطين بارتفاع هوائي المحطة القاعدة في هذا النموذج بينما يتغير L_{msd} حسب وجود هذا الهوائي عند ارتفاع السطوح أو فوقه أو تحته.

$$(10) \quad L_{NLoS1} = \begin{cases} L_{bf} + L_{rts} + L_{msd} & \text{for } L_{rts} + L_{msd} > 0 \\ L_{bf} & \text{for } L_{rts} + L_{msd} \leq 0 \end{cases}$$

وتعطى خسارة الإرسال في الفضاء الحر بالمعادلة التالية:

$$(11) \quad L_{bf} = 32.4 + 20 \log_{10} (d / 1000) + 20 \log_{10} (f)$$

حيث:

d : طول المسير (m)
 f : التردد (MHz).

يصف التعبير L_{rts} اقتران الموجة المنتشرة على طول المسير بتأثير الحجب المتعدد في الشارع الذي تكون فيه المحطة المتنقلة. وهو يراعي عرض الشارع واتجاه محوره.

$$(12) \quad L_{rts} = -8.2 - 10 \log_{10} (w) + 10 \log_{10} (f) + 20 \log_{10} (\Delta h_m) + L_{ori}$$

$$(13) \quad L_{ori} = \begin{cases} -10 + 0.354\phi & \text{for } 0^\circ \leq \phi < 35^\circ \\ 2.5 + 0.075(\phi - 35) & \text{for } 35^\circ \leq \phi < 55^\circ \\ 4.0 - 0.114(\phi - 55) & \text{for } 55^\circ \leq \phi \leq 90^\circ \end{cases}$$

حيث:

$$(14) \quad \Delta h_m = h_r - h_m$$

أما L_{ori} فهو عامل تصحيح اتجاه محور الشارع الذي يراعي تأثير الانعراج بين السطوح والشارع في الشوارع غير المتعامدة باتجاه الانتشار (انظر الشكل (2b)).

ويعتمد التوهين بالانعراج بسبب الحجب المتعدد من المحطة القاعدة الناتج عن الانتشار عبر صفوف المباني على الارتفاع النسبي لهوائي المحطة القاعدة بالنسبة إلى ارتفاع المباني وعلى زاوية الورد. ومعيار الورد التماسي هو معيار "مسافة الاستقرار" d_s :

$$(15) \quad d_s = \frac{\lambda d^2}{\Delta h_b^2}$$

حيث (انظر الشكل (2a)):

$$(16) \quad \Delta h_b = h_b - h_r$$

ولحساب L_{msd} ، تقارن d_s بالمسافة l التي تغطيها المباني.

حساب L_{msd} من أجل $d_s < l$

(يلاحظ أن هذا الحساب يكون أكثر دقة في حالة $l \ll d_s$).

$$(17) \quad L_{msd} = L_{bsh} + k_a + k_d \log_{10} (d / 1000) + k_f \log_{10} (f) - 9 \log_{10} (b)$$

حيث:

$$(18) \quad L_{bsh} = \begin{cases} -18 \log_{10} (1 + \Delta h_b) & \text{for } h_b > h_r \\ 0 & \text{for } h_b \leq h_r \end{cases}$$

تعبير يدل على خسارة تعتمد على ارتفاع المحطة القاعدة،

$$(19) \quad k_a = \begin{cases} 71.4 & \text{for } h_b > h_r \text{ and } f > 2000 \text{ MHz} \\ 54 & \text{for } h_b > h_r \text{ and } f \leq 2000 \text{ MHz} \\ 54 - 0.8\Delta h_b & \text{for } h_b \leq h_r \text{ and } d \geq 500 \text{ m} \\ 54 - 1.6\Delta h_b d / 1000 & \text{for } h_b \leq h_r \text{ and } d < 500 \text{ m} \end{cases}$$

$$(20) \quad k_d = \begin{cases} 18 & \text{for } h_b > h_r \\ 18 - 15 \frac{\Delta h_b}{h_r} & \text{for } h_b \leq h_r \end{cases}$$

$$(21) \quad k_f = \begin{cases} -8 & \text{for } f > 2000 \text{ MHz} \\ -4 + 0.7(f/925 - 1) & \text{للمدن متوسطة الحجم والمراكز شبه الحضرية} \\ & \text{التي تكون فيها كثافة الأشجار متوسطة } f \geq 2000 \text{ MHz} \\ -4 + 1.5(f/925 - 1) & \text{للمراكز الحضرية } f \geq 2000 \text{ MHz} \end{cases}$$

حساب L_{msd} من أجل $d_s > l$

في هذه الحالة، ينبغي إجراء تمييز آخر وفقاً للارتفاعات النسبية للمحطة القاعدة والسطوح.

$$(22) \quad L_{msd} = -10 \log_{10} \left(Q_M^2 \right)$$

حيث:

$$(23) \quad Q_M = \begin{cases} 2.35 \left(\frac{\Delta h_b}{d} \sqrt{\frac{b}{\lambda}} \right)^{0.9} & \text{for } h_b > h_r \\ \frac{b}{d} & \text{for } h_b \approx h_r \\ \frac{b}{2\pi d} \sqrt{\frac{\lambda}{\rho}} \left(\frac{1}{\theta} - \frac{1}{2\pi + \theta} \right) & \text{for } h_b < h_r \end{cases}$$

و

$$(24) \quad \theta = \arctan \left(\frac{\Delta h_b}{b} \right)$$

$$(25) \quad \rho = \sqrt{\Delta h_b^2 + b^2}$$

2.2.4 الانتشار داخل "الأخاديد الحضرية"

بالنسبة إلى الحالات NLoS2 حيث يكون الهوائيان دون مستوى السطوح، يجب مراعاة الموجات المنعرجة والمنعكسة عند زوايا تقاطع الشوارع (انظر الشكل 3).

$$(26) \quad L_{NLoS2} = -10 \log_{10} \left(10^{-L_r/10} + 10^{-L_d/10} \right) \quad \text{dB}$$

حيث:

L_r : خسارة على المسير بسبب الانعكاس تعرف بالصيغة التالية:

$$(27) \quad L_r = 20 \log_{10} (x_1 + x_2) + x_1 x_2 \frac{f(\alpha)}{w_1 w_2} + 20 \log_{10} \left(\frac{4\pi}{\lambda} \right) \quad \text{dB}$$

حيث:

$$(28) \quad f(\alpha) = \frac{3.86}{\alpha^{3.5}} \quad \text{dB}$$

حيث $0.6 < \alpha \text{ [rad]} < \pi$.

L_d : خسارة على المسير بسبب الانعراج تعرف بالصيغة التالية:

$$(29) \quad L_d = 10 \log_{10} [x_1 x_2 (x_1 + x_2)] + 2D_a - 0.1 \left(90 - \alpha \frac{180}{\pi} \right) + 20 \log_{10} \left(\frac{4\pi}{\lambda} \right) \quad \text{dB}$$

$$(30) \quad D_a = \left(\frac{40}{2\pi} \right) \left[\arctan\left(\frac{x_2}{w_2}\right) + \arctan\left(\frac{x_1}{w_1}\right) - \frac{\pi}{2} \right] \quad \text{dB}$$

3.4 معلمات بالتغيب تستعمل لإجراء الحسابات المتعلقة بأي موقع عموماً

إذا كانت المعطيات المتعلقة بميكل المباني والشوارع غير معروفة (الحالات المتصلة بأي موقع عموماً)، يوصى باستعمال القيم التالية بالتغيب:

$$h_r = 3 \times (\text{عدد الطوابق}) + \text{ارتفاع السطح (m)}$$

$$\text{ارتفاع السطح} = 3 \text{ m للسطوح المائلة}$$

$$0 \text{ m للسطوح المنبسطة}$$

$$w = b/2$$

$$b = 20 \text{ إلى } 50 \text{ m}$$

$$\varphi = 90^\circ$$

4.4 تأثير الغطاء النباتي

لتأثيرات الانتشار من خلال الغطاء النباتي (الأشجار أساساً) أهمية في عملية التنبؤ بالانتشار عبر مسيرات قصيرة خارج المباني. ويمكن تحديد آليتين أساسيتين للانتشار:

- الانتشار عبر الأشجار (لا من حولها ولا من فوقها)؛
- الانتشار فوق الأشجار.

تسود الآلية الأولى عندما يكون الهوائيان دون قمة الأشجار وتكون المسافة عبر الأشجار قصيرة؛ بينما تغلب الآلية الثانية عندما يكون أحد الهوائيين أعلى من قمة الأشجار. ويتأثر التوهين بشدة بالانتشار عبر عدة مسيرات الناتج عن انعراج طاقة الإشارة فوق الأشجار وعبرها على حد سواء. وفيما يتعلق بالانتشار عبر الأشجار، فإن ظاهرة التوهين النوعي بسبب الغطاء النباتي ورد بحثها في التوصية ITU-R P.833. وعندما يتم الانتشار فوق الأشجار يكون الانعراج الأسلوب الرئيسي للانتشار فوق حواف الأشجار القريبة من الهوائي المنخفض. ويمكن نمذجة أسلوب الانتشار هذا ببساطة باستعمال نموذج مثالي للانعراج على حد السكين (انظر التوصية ITU-R P.526)، على الرغم من أن هذا النموذج قد ينتقص من قدرة المجال لأنه يهمل تأثير الانتشار المتعدد بسبب قمم الأشجار وهو آلية يمكن نمذجتها بنظرية النقل الإشعاعي.

5 خسارة اختراق المباني

خسارة اختراق المباني هي زيادة الخسارة بسبب جدران المباني (بما في ذلك النوافذ وعناصر أخرى). وتعرف هذه الخسارة على أنها الفرق بين سويات الإشارات خارج المباني وداخلها عند الارتفاع ذاته. ويجب كذلك مراعاة زاوية الورد. (عندما يكون طول المسير أقل من حوالي 10 أمتار، يجب مراعاة فرق التوهين في الفضاء الحر الناتج عن تغير طول المسير بين القياسين لدى تحديد خسارة اختراق المباني. أما بالنسبة إلى الهوائيات الواقعة على مقربة من الجدران فقد يكون من الضروري أيضاً دراسة تأثيرات المجال القريب). وتحدث خسائر إضافية عندما تنفذ الإشارة إلى داخل المبنى (انظر التوصية ITU-R P.1238). وبصورة عامة، يكون أسلوب الانتشار المهيمن هو الأسلوب الذي تدخل فيه الإشارات إلى المبنى بشكل أفقي تقريباً عبر واجهة المبنى (وكذلك عبر النوافذ)، وفي حالة البناء المتجانس لا ترتبط خسارة الاختراق بعامل الارتفاع.

ويجب مراعاة خسارة الاختراق عند تقييم التغطية الراديوية من نظام خارج المبنى إلى مطراف في داخله. وهذه الخسارة مهمة أيضاً لدراسة مشاكل التداخل بين الأنظمة خارج المباني وداخلها.

والنتائج التجريبية في الجدول 6 مستخلصة عند تردد 5,2 GHz عبر جدار مبنى مكون من الآجر والخرسانة وله نوافذ زجاجية، ويبلغ سمك الجدار 60 cm وتبلغ نسبة النوافذ إلى الجدران حوالي 2 إلى 1.

الجدول 6

مثال لخسارة اختراق المباني

مبانٍ تجارية		مكاتب		مبانٍ سكنية		التردد
انحراف معياري	خسارة متوسطة	انحراف معياري	خسارة متوسطة	انحراف معياري	خسارة متوسطة	
		dB 5	dB 12			GHz 5,2

يعطي الجدول 7 نتائج القياسات التي أجريت عند تردد 5,2 GHz عبر جدار خارجي مكون من لبنات من الحجر وعند زوايا ورود تتراوح بين 0° و 75°. ويبلغ سمك الجدار 400 mm ويتألف من طبقتين سماكة كل منهما 100 mm تفصل بينهما حشية سائبة. وفيما يتعلق بزوايا ورود أكبر على وجه التحديد كانت الخسارة بسبب الجدار بالغة الحساسية إزاء موقع المستقبل كما يظهر جلياً من الانحراف المعياري الكبير.

الجدول 7

خسارة بسبب جدار مكون من لبنات من الحجر عند زوايا ورود مختلفة

زاوية الورد (بالدرجات)	0	15	30	45	60	75
خسارة بسبب الجدار (dB)	28	32	32	38	45	50
انحراف معياري (dB)	4	3	3	5	6	5

يمكن الحصول على معلومات إضافية بشأن خسارة اختراق المباني، معده أساساً للأنظمة الساتلية، في التوصية ITU-R P.679 وقد تكون هذه المعلومات ملائمة لتقييم اختراق المباني في حالة أنظمة الأرض.

6 نماذج تعدد المسيرات

تقدم التوصية ITU-R P.1407 وصفاً للانتشار عبر مسيرات متعددة وتعريفاً لبعض المصطلحات.

1.6 نماذج تعدد المسيرات لبيئة الأحادي الحضرية

حددت خصائص تمديد وقت الانتشار عبر مسيرات متعددة في حالة الانتشار LoS في بيئة حضرية مرتفعة المباني في وجود خلايا صغيرة وخلايا دقيقة (انظر الجدول 3) استناداً إلى المعطيات المقيسة عند ترددات تتراوح بين 2,5 GHz و 15,75 GHz ومسافات تتراوح بين 50 و 400 m. وتتبع قيمة جذر متوسط التربيع لامتداد وقت الانتشار S عند المسافة d بالأمتار توزيعاً عادياً وتعطى القيمة المتوسطة بالصيغة التالية:

$$a_s = C_a d^{\gamma_a} \quad \text{ns} \quad (31)$$

ويعطى الانحراف المعياري بالصيغة التالية:

$$\sigma_s = C_\sigma d^{\gamma_\sigma} \quad \text{ns} \quad (32)$$

حيث تعتمد C_a و γ_a و C_σ و γ_σ على ارتفاع الهوائي وبيئة الانتشار. ويعطى الجدول 8 بعض القيم النموذجية للمعاملات فيما يتعلق بمسافات تتراوح بين 50 و 400 m، وترتكز هذه القيم على القياسات التي أجريت في مناطق حضرية ومناطق سكنية.

الجدول 8

القيم النموذجية لمعاملات خصائص المسافة المتعلقة بقيمة جذر متوسط التربيع لامتداد وقت الانتشار

σ_s		a_s		ظروف القياس			
γ_σ	C_σ	γ_a	C_a	h_m (m)	h_b (m)	f (GHz)	المنطقة
0,32	12	0,27	55	3,0	6,0	2,5	حضرية
0,35	5,5	0,26	23	2,7	4,0	15,75-3,35	
0,39	6,1	0,51	10	1,6			
				0,5			
0,77	0,54	0,53	2,1	2,7	4,0	3,35	سكنية
0,48	2,0	0,32	5,9	1,6		15,75-3,35	

يكون الشكل المتوسط للمظهر الجانبي لوقت الانتشار، استناداً إلى المعطيات المقيسة عند 2,5 GHz، كالتالي:

$$(33) \quad P(t) = P_0 + 50(e^{-t/\tau} - 1) \quad \text{dB}$$

حيث:

P_0 : قدرة الذروة

τ : عامل التناقص

وتقدر t بنانو ثانية (ns)

يمكن تقييم τ استناداً إلى المعطيات المقيسة فيما يتعلق بقيمة جذر متوسط التربيع لامتداد وقت الانتشار S ، كالتالي:

$$(34) \quad \tau = 4 S + 266 \quad \text{ns}$$

لا تكون العلاقة الخطية بين τ و S صالحة إلا في حالة الانتشار LoS.

وقد تم أيضاً تحديد الخصائص الآنية للمظهر الجانبي لوقت الانتشار انطلاقاً من نفس مجموعة المعطيات المقيسة. وتبع الطاقة الواصلة خلال الأربعين نانوثانية الأولى توزيع رايس مع عامل K يتراوح بين 6 و 9 dB، بينما تتبع الطاقة الواصلة بعد ذلك إما توزيع رايلي أو توزيع رايس مع عامل K لا يتجاوز حوالي 3 dB. (انظر التوصية ITU-R P.1057 لتعريف توزيعات الاحتمال).

2.6 نماذج تعدد المسيرات لبيئات الانتشار فوق السطوح

تم تحديد خصائص امتداد وقت الانتشار عبر مسيرات متعددة في حالي LoS و NLoS في بيئة حضرية تتميز بمبان مرتفعة فيما يتعلق بخلايا "موسعة" (معرفة في الجدول 3) بالاستناد إلى المعطيات المقيسة عند 1920-1980 MHz و 2110-2170 MHz باستخدام هوائيات شاملة الاتجاهات. وتعطى القيمة المتوسطة لجذر متوسط التربيع لامتداد وقت الانتشار S في هذه البيئة بالصيغة التالية:

$$(35) \quad S_u = \exp(A \cdot L + B) \quad \text{ns}$$

حيث $A = 0,038$ و $B = 2,3$ وتدل L على خسارة المسير (dB).

واستناداً إلى نفس مجموعة القياسات، قورنت قيم جذر متوسط التربيع لامتداد وقت الانتشار عند نطاقات التردد المختلفة (المتباعدة بقيمة 190 MHz) في كل موقع. وقد لوحظت في أكثر من 10% من المواقع فروق تزيد على 300 ns في جذر متوسط التربيع لامتداد وقت الانتشار وعتبة تبلغ 25 dB وفروق أكبر من 2 μ s فيما يتعلق بفترة التأخر وعتبة تبلغ 15 dB.

واستخلصت من هذه القياسات توزيعات خصائص امتداد وقت الانتشار عبر عدة مسيرات عند النطاق 5,2 GHz في بيئة شبه حضرية وارتفاع هوائي المحطة القاعدة قدره 20 m وارتفاع هوائي المحطة المتنقلة قدره 2,8 m. ويعرض الجدول 9 قيم جذر متوسط التربيع لامتداد وقت الانتشار عند النطاق 5,2 GHz في الحالتين اللتين يبلغ فيهما الاحتمال التراكمي 50% و95%.

الجدول 9

القيم النموذجية لجذر متوسط التربيع لامتداد وقت الانتشار*

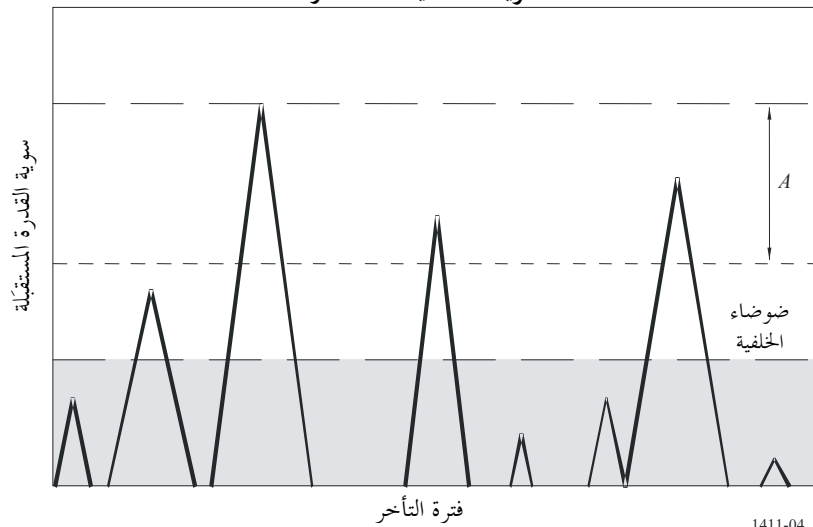
جذر متوسط التربيع لامتداد وقت الانتشار (نانوثانية)		ظروف القياس				
%95	%50	المدى (m)	ارتفاع الهوائي		التردد (GHz)	المنطقة
			h_r (m)	h_{BS} (m)		
577	189	1 000-100	2,8	20	5,2	شبه حضرية
* استعملت القيمة العتبة البالغة 30 dB لحساب جذر متوسط التربيع لامتداد وقت الانتشار.						

7 عدد مكونات الإشارة

يحتاج الأمر إلى تقييم عدد مكونات الإشارة (أي المكونة الرئيسية بالإضافة إلى المكونات متعددة المسيرات) الواردة إلى المستقبل وذلك عند تصميم أنظمة بمعدل معطيات مرتفع تركز على تقنيات الفصل والتركيب. وكما يتضح من الشكل 4، يمكن تمثيل عدد مكونات الإشارة انطلاقاً من المظهر الجانبي للتأخير باعتباره عدد الذرى التي يكون اتساعها ضمن A dB من أعلى ذروة وفوق سوية الضوضاء الخلفية.

الشكل 4

تعريف لتحديد عدد الذرى



تعطي الجداول 10 و 11 و 12 نتائج القياس لثلاثة سيناريوهات مختلفة (هوائي منخفض للمحطة القاعدة في منطقة حضرية وهوائي مرتفع للمحطة القاعدة في منطقة حضرية وهوائي منخفض للمحطة القاعدة في منطقة سكنية). وبلغت الاستبانة الزمنية للقياسات 20 ns. ويعطي الجدول 13 نتائج القياسات التي أجريت باستخدام هوائي مرتفع للمحطة القاعدة في بيئة شبه حضرية. وبلغت الاستبانة الزمنية لهذه القياسات 50 ns. وتبين هذه الجداول العدد الأقصى لمكونات الإشارة الملحوظة عند 80% و 95% من مواقع الهوائي لكل من السيناريوهات الثلاثة.

الجدول 10

العدد الأقصى لمكونات الإشارة

(قياسات أجريت باستعمال هوائي منخفض للمحطة القاعدة في منطقة حضرية)

العدد الأقصى لمكونات الإشارة						المدى (m)	ارتفاع الهوائي (m)		التردد (GHz)
dB 10 = A		dB 5 = A		dB 3 = A			h_m	h_b	
%95	%80	%95	%80	%95	%80				
6	5	4	2	3	2	200-0	1,6	4	3,35
9	5	4	2	3	2	1 000-0			
6	4	3	2	3	1	200-0	1,6	4	8,45
8	4	4	2	2	1	1 000-0			
5	4	3	2	3	1	200-0	1,6	4	15,75
10	6	4	2	3	2	1 000-0			

الجدول 11

العدد الأقصى لمكونات الإشارة

(قياسات أجريت باستعمال هوائي مرتفع للمحطة القاعدة في منطقة حضرية)

العدد الأقصى لمكونات الإشارة						المدى (m)	ارتفاع الهوائي (m)		التردد (GHz)
dB 10 = A		dB 5 = A		dB 3 = A			h_m	h_b	
%95	%80	%95	%80	%95	%80				
13	3	3	2	2	2	590-150	2,7	55	3,35
12	3	3	2	2	2	590-150	2,7	55	8,45

الجدول 12

العدد الأقصى لمكونات الإشارة

(قياسات أجريت باستعمال هوائي منخفض للمحطة القاعدة في منطقة سكنية)

العدد الأقصى لمكونات الإشارة						المدى (m)	ارتفاع الهوائي (m)		التردد (GHz)
dB 10 = A		dB 5 = A		dB 3 = A			h_m	h_b	
%95	%80	%95	%80	%95	%80				
3	2	2	2	2	2	480-0	2,7	4	3,35

الجدول 13

العدد الأقصى لمكونات الإشارة
(قياسات أجريت باستعمال هوائي مرتفع للمحطة القاعدة في منطقة شبه حضرية)

العدد الأقصى لمكونات الإشارة						المدى (m)	ارتفاع الهوائي (m)		التردد (GHz)
dB 10 = A		dB 5 = A		dB 3 = A			h_m	h_b	
%95	%80	%95	%80	%95	%80				
5	3	3	1	2	1	5 000-0	2,7	40	3,67

8 خصائص الاستقطاب

يختلف تمييز الاستقطاب المتقاطع (XPD) كما جاء تعريفه في التوصية ITU-R P.310 بين منطقتي الانتشار LoS و NLoS في بيئة الخلايا الصغيرة العاملة بالموجات السنتيمترية (SHF). وتبين القياسات قيمة متوسطة لتمييز الاستقطاب المتقاطع قدرها dB 13 للمسيرات LoS و dB 8 للمسيرات NLoS وانحراف معياري قدره dB 3 للمسيرات LoS و dB 2 للمسيرات NLoS في مدى الموجات السنتيمترية. وتتوافق هذه القيم المتوسطة مع قيم انتشار الموجات السنتيمترية في المناطق المكشوفة والمناطق الحضرية على التوالي الواردة في التوصية ITU-R P.1406.

9 خصائص اتجاه الوصول

حددت قيمة جذر متوسط التربيع الامتداد الزاوي المعرف في التوصية ITU-R P.1407 في اتجاه السميت في بيئة خلايا صغيرة أو خلايا دقيقة في منطقة حضرية استناداً إلى القياسات التي أجريت عند تردد قدره 8,45 GHz. والمحطة القاعدة المستقبلية مجهزة بهوائي مكافئي بفتحة نصف القدرة للحزمة تبلغ 4°. وبلغ ارتفاع هوائي المحطة المنتقلة المرسل 2,7 m وارتفاع هوائي المحطة القاعدة المستقبلية 4,4 m.

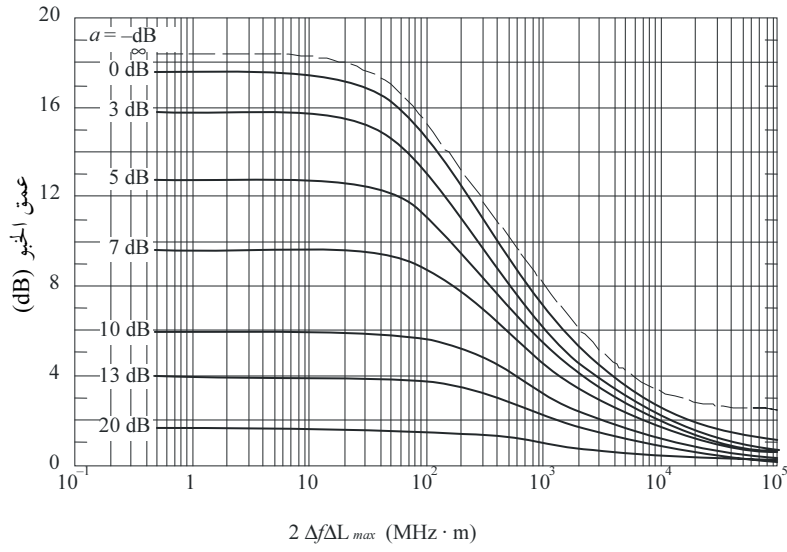
وتبلغ القيمة المتوسطة لجذر متوسط التربيع للامتداد الزاوي 30° (انحراف معياري قدره 11°) في حالة LoS و 41° (انحراف معياري قدره 18°) في حالة NLoS.

10 خصائص الخبو

يُعبّر عن عمق الخبو، الذي يعرف بالفرق بين القيمة 50% و القيمة 1% في الاحتمال التراكمي لسويات الإشارة المستقبلية، بدلالة ناتج ($2\Delta f\Delta L_{max}$ MHz·m) عرض النطاق المستقبل البالغ $2\Delta f$ MHz والفرق الأقصى في أطوال مسير الانتشار ΔL_{max} m كما هو موضح في الشكل 5. وتدل ΔL_{max} على الفرق الأقصى في أطوال مسير الانتشار بين المكونات التي تكون سويتها أعلى من العتبة التي تقل بمقدار 20 dB عن أعلى سوية للموجات غير المباشرة كما هو موضح في الشكل 6. وتدل a المعبر عنها بالدسيبل في هذا الشكل على نسبة قدرة الموجات المباشرة إلى مجموع الموجات غير المباشرة، وتمثل $a = -\infty$ dB حالة انتشار خلاف خط البصر. وعندما تكون $2\Delta f\Delta L_{max}$ أدنى من 10 MHz·m، تتبع سويات الإشارة المستقبلية في حالة الانتشار في خط البصر والانتشار خلاف خط البصر توزيع رايلي وتوزيع نكاغامي-رايس المقابلين لمنطقة خبو نطاق ضيق. وعندما تكون أعلى من 10 MHz·m، تقابل منطقة خبو نطاق عريض، حيث يصبح عمق الخبو أقل ولا تتبع سويات الإشارة المستقبلية لا توزيع رايلي ولا توزيع نكاغامي-رايس.

الشكل 5

العلاقة بين عمق الخبو والقيمة $2\Delta f\Delta L_{max}$

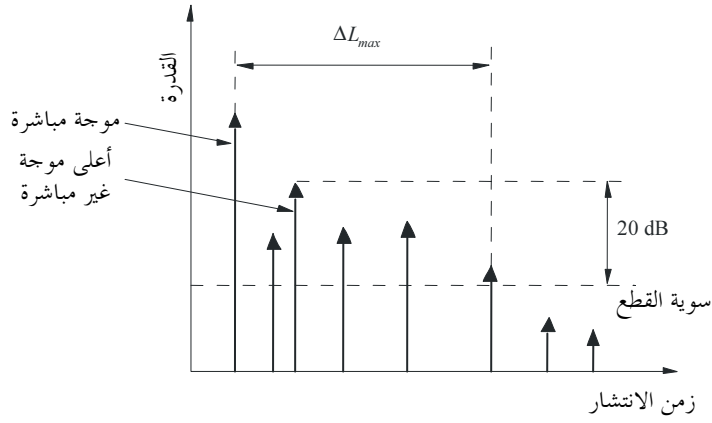


نسبة القدرة : a

1411-05

الشكل 6

نموذج حساب ΔL_{max}



1411-06